

回転機研究会資料

資料番号	R M - 7 3 - 1 7
------	-----------------

多相誘導電動機の磁気騒音に関する一考察
(第1報—分布力の波形と空間分布についての考察)

齊 藤 兆 古
(法政大学)

1973年12月20日

社団 法人 電 气 学 会

東京都千代田区有楽町1の11

多相誘導電動機の磁気騒音に関する一考察
第1報 分布力の波形と空間分布についての考察

齊藤兆古 (法政大学 工学部)

1. まえがき

従来から多相(かご形)誘導電動機においては起磁力分布やスロットペーミアンスの空間的変動によって生ずる空間高調波の存在により各種の異状現象が発生することが知られている。これらの異状現象は非同期クローリングや同期クローリングなどの異状トルク現象と騒音や振動の問題に大別することができる。このなかで異状トルク現象については過去に多くの研究が行なわれてその大部分が解決されている。^{(1)~(7)} また、騒音や振動の問題についても非常に多くの研究が行なわれ、空間高調波で最もその大きさが大きな溝高調波による騒音については定量的な取り扱いも試みられている。^{(7)~(10)}

しかし、実際は一次と二次の溝高調波(の磁界)の干渉による騒音の周波数とは異なる周波数の騒音や脈動(うなり)をともなう騒音が発生するため機械的(幾何学的)な非対称や磁気飽和まで考慮した解析がなされている。⁽¹¹⁾⁽¹²⁾

本論文はこれらの従来の磁気騒音に関する研究結果のなかで、従来の理論で明確に示されていない起磁力分布とスロットペーミアンスの空間的変動による空間高調波が磁気騒音に与える(磁気騒音の源となる分布力に与える)影響の差異および分布力の波形とその空間分布について、デジタル計算機によるシミュレーションと実験によって考察を行なう。

2. 従来の磁気騒音に関する研究の概要

<2.1> 一次と二次の溝数組み合せ 最も古くから磁気騒音に関係する要素として知られているもので、騒音源となる分布力は一次と二次をそれぞれの溝高調波(の磁界)の干渉によって発生し、その周波数は二次の溝数に直接関係し、その次数は一次と二次の溝数に関係する。すなわち、一次溝数を n_1 、二次溝数を n_2 、電源周波数を f [Hz]、極対数を p さらにすべりを s とすれば、分布力の次数と周波数はオ1表に示すものとなる。⁽⁹⁾

但し、オ1表はオ1次の溝高調波によるものである。

オ1表 溝高調波による分布力

分布力の次数	分布力の周波数
$ n_1 - n_2 $	$n_2(1-s)f/p$
$ n_2 - n_1 + 2p $	$\{2 + n_2(1-s)/p\}f$
$ n_1 - n_2 + 2p $	$\{2 - n_2(1-s)/p\}f$

表1に示されている分布力以外に一次と二次の溝高調波以外の空間高調波による分布力が存在するが、実用上は表1に示されているものだけを考えれば充分であると考えられている。したがって、この騒音源に対する対策は分布力の次数を高次なものとし、さらに固定子枠や回転子の機械的共振を避けることとされている。これらの代表的な計算例は Jordan 氏、Erdelyi 氏さらに石崎氏らによつて報告されている。^{(8)~(10)}

〈2.2〉 機械的非対称による騒音 固定子枠の内側や回転子が完全な円形でなく機械的に非対称である場合の騒音源である。このなかで、固定子の内側が機械的に非対称である場合の分布力は新しい分布力の次数を持つが、新しい分布力の周波数は発生しない、しかし、回転子が機械的に非対称である場合の分布力は新しい分布力の次数と周波数を持つことが Muster 氏、Wolfert 氏さらに Magyar 氏らによつて指摘されている。⁽¹¹⁾⁽¹²⁾

これらの機械的な非対称による騒音を防止するためには電動機の機械的な精度を向上させることである。しかし、技術的に対処することのできない機械的な非対称に対しては固定子枠や回転子の機械的共振を避けることで対処しなければならない。特に、Muster 氏らの例にあるように回転子の機械的な共振には注意すべきである。⁽¹¹⁾

〈2.3〉 2倍のすべり周波数で脈動する騒音と実験的に知られている騒音 斎藤氏や前田氏は二次の溝数に關係なく一次の溝数にのみ關係する周波数の騒音が存在することを実験的に証明している。⁽¹³⁾ また、多相誘導電動機の磁気騒音は2倍のすべり周波数で脈動することが知られているが、Magyar 氏は二次の発生する空間高調波の磁界で極数が $2p$ 極（一次の極数）だけ異なるものがそれぞれ一次の基本波の磁界と作用して生ずるそれぞれの分布力の周波数は2倍のすべり周波数だけ異なることを指摘し、2倍のすべり周波数で脈動する騒音源についての説明を試みている。⁽¹²⁾ また、Summers 氏は二次回路を流れる空間高調波による電流の次数が一次の極対数 p だけ異なるものが干渉して2倍のすべり周波数で脈動する電流を生じ、この電流による磁界が一次の磁界と作用して2倍のすべり周波数で脈動するトルクが発生することを指摘している。⁽¹⁴⁾ このことから、2倍のすべり周波数で脈動するトルクは2倍のすべり周波数の振動を生じ、2倍のすべり周波数で脈動する騒音の原因と考えられる。

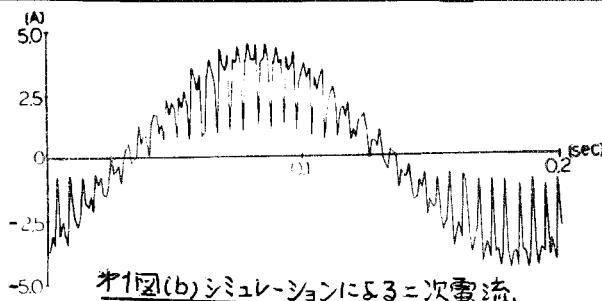
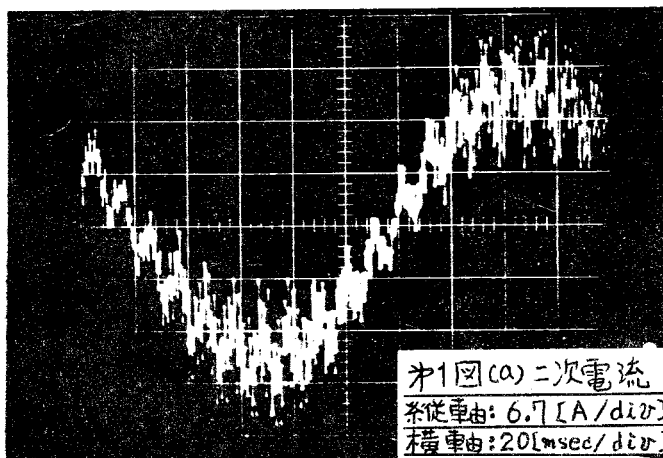
3. 本論

〈3.1〉 シミュレーションモデルの設定 本論文では磁気騒音の源となる分布力のデジタルシミュレーションを行なつて考察を行なう。実際の電動機をそのままシミュレーションすることは不可能であるために本論文では次に述べる条件でシミュレーションのモデルを設定する。
 1) 磁気回路の飽和は無視する。
 2) スロットパーキアンスの空間的変動は一次

とニ次間のギャップの変動として導入する。 3) 空間的に不連続な変化をする起磁力分布やギャップの変動をそれぞれ1個の関数として取り扱う。

4) 非正弦波に対するインピーダンスは非正弦波をフーリエ級数に展開したときの基本波に対する値で近似する。(6)(7) 5) 一次側に流れる高調波電流は無視する。 6) 一次とニ次間のギャップの空間的変動によるニ次の自己インダクタンスの空間的変動(ギャップが一次とニ次の相対的な位置によって変動すれば磁束の分布も一次とニ次の相対的な位置によって異なるためにニ次の自己インダクタンスは一次とニ次間の角度の関数となる。)は無視する。

＜3.2＞ シミュレーションの妥当性の吟味 計算結果の吟味は分布力の源となる一次とニ次それぞれの磁界を間接的に測定してその波形と計算によるそれぞれの波形と比較することで行なう。 一次の磁界を切って誘起するニ次の電圧によるニ次電流の波形は巻線形誘導電動機では容易に測定される。 ニ次が巻線形の場合はかご形の場合に比較して、空間高調波が小さいことや空間高調波に対するニ次のインピーダンスが大きいことから、ニ次回路に流れる高調波電流はかご形に比較して小さくなるが定性的に波形そのものは同じである。 オ1図に 三相、出力 $2 [kW]$ 、4極、一次溝数36個の巻線形誘導電動機をすべり $s = 0.1$ で運転した場合のニ次電流波形とオ2表に示す各定数で計算したニ次電流波形を示す。

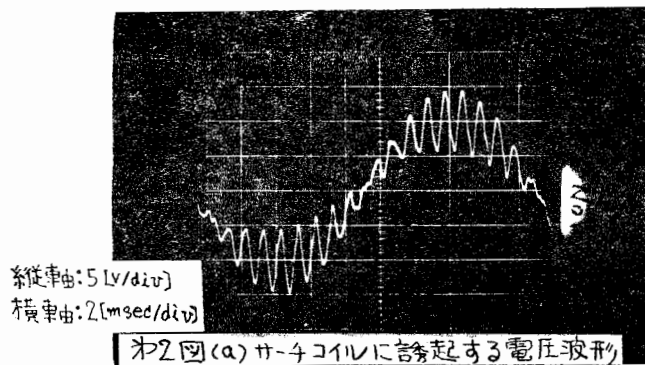


オ2表 シミュレーションモデルの各定数

不目数	: 三相
極 数	: 4極
周波数	: 50 [Hz]
すべり	: 0.1
一次電流	: 1 [A]
一次スロット数	: 36 [個]
ニ次スロット数	: 44 [個]
一次半閉スロット	
ニ次全閉スロット	
一次スロットの深さ	: 0.8 [mm]
一次スロット開口の巾幅	: 2.3 [mm]
一次スロットヒッチ	: 0.17 [rad]
1スロット1相の巻数	: 50 [回数]
ギャップ長	: 0.31 [mm]
電機子半径	: 49 [mm]
電機子長	: 80 [mm]
ニ次抵抗	: 8.34 [mΩ]
ニ次リアクタンス	: 0.28 [Ω]

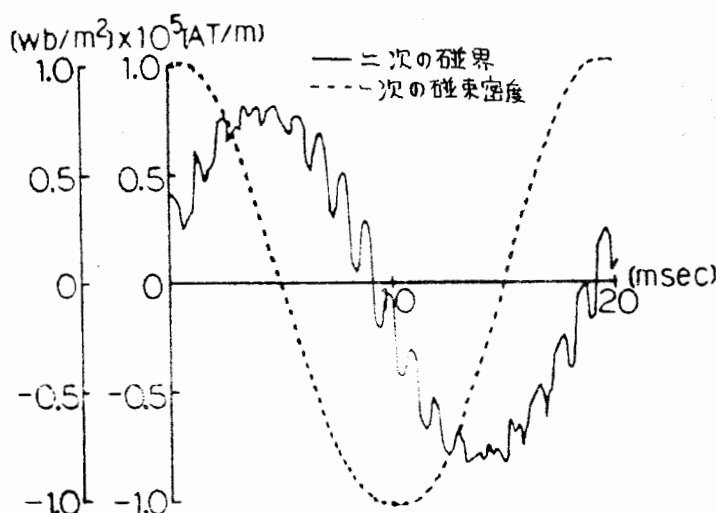
オ1図(a)と(b)の波形は比較的よく一致しているが、これはオ1図(a)の電流波形はニ次が巻線形であるために高調波成分が少く場合に比較して小さうことやオ1図(b)のシミュレーションによる電流波形はニ次回路を基本波に対するインピーダンスで近似しているために高調波成分が小さく算定されているためである。よって、ニ次電流の波形は実際のかご形誘導電動機と一致するがその高調波成分は実際より小さいと考えられる。

ニ次の磁界を直接に測定することは不可能であるが、固定子にサーチコイルを取り付けてサーチコイルに誘起する電圧波形を考えるとすれば、サーチコイルに誘起する電圧波形のひずみ波成分はニ次の磁界によるものであるから定性的にはサーチコイルに誘起するひずみ波成分の電圧波形はニ次の磁界の形状と同一であると考えられる。オ3表に示す定数の供試電動機の固定子の1磁極に4に5回数サーチコイルを巻き、すべて $S = 0.1$ で運転した場合のサーチコイルに誘起する電圧波形をオ2図(a)に示し、オ2図(b)にオ1表の定数でシミュレーションを行なった場合のニ次の磁界と一次の磁束密度の波形を示す。



オ3表 供試電動機の各定数

相数 : 三相
極数 : 4 极
出力 : 1.5 [kW]
周波数 : 50 [Hz]
一次溝数 : 36 [個]
ニ次溝数 : 44 [個]
一次は半開スロット
ニ次は全閉スロット



オ2図(a)とオ2図(b)のニ次の磁界(実線部分)のひずみ波成分の波形で、周期は一致するが位相が一致していない、これはオ2図(a)の波形にはオ2図(b)に示されている一次の磁束密度(破線部分)による電圧が含まれているためである。

オ1図とオ2図の結果から、空間高調波の大きさそのものは問題があるが(特にニ次回路を流れる高調波電流の大きさは問題であるが、他の起磁力分布やギャップの変動による空間高調波は磁束が電動機の半径方向のみに分布するとすれば、理論的にはすべての空間高調波を考慮したこととなる。), シミュレーション結果から定性的な結論を得るためにには充分なシミュレーションモデルといえる。また、従来から計算されているものに比較すれば、ニ次回路を流れる高調波電流の大きさは小さく算定されるが、すべての空間高調波を同時に考慮したまでは精確である。

<3.3> 分布力の波形についての考察 オ2表に示してある定数(一次半開スロット、ニ次全閉スロット)の場合とオ1表に示してある定数で、一次もニ次も半開スロット(ニ次スロットの深さは 0.3 [mm], ニ次スロット開口の幅は 0.5 [mm])とした場合、さらに一次もニ次も全閉スロットとした場合、それぞれのシミュレーションによる分布力(一次の磁場の強さとニ次の磁場の強さの間で生ずる分布力)の波形をオ3図(a), (b) さらに(c)に示す。オ3図から次のことがわかる。

(1) 分布力の基本波は、 f を電源周波数(この場合は 50 Hz)とすれば、 $2f$ [Hz] の周波数がになっている。

(2) 分布力のひずみ波成分は、 γ を正の整数(たとえば、 $\gamma = 1$ または 2 のとき、それぞれ分布力のひずみ波成分をフーリエ級数に展開したときの基本波およびオ2次高調波を示すこととする。)とすれば、その振幅が $2f$ [Hz] で脈動する $gn_2(1-s)f/p$ [Hz] なる周波数である。

したがって、 F をひずみ波成分の振幅、 ω はひずみ波成分を振幅変調している $2f$ [Hz] の振幅さらに $\omega = 2\pi f$ とすれば、オ3図の分布力の波形でひずみ波成分は、

$$\begin{aligned} F &= \sum_g \left\{ F_g + F_0 \cos 2\omega t \right\} \cos \left\{ \frac{g}{p} n_2 (1-s) \omega t \right\} \\ &= \sum_g \left[F_g \cos \left\{ \frac{g}{p} n_2 (1-s) \omega t \right\} + \frac{F_0}{2} \left\{ \cos \left(2 - \frac{g}{p} n_2 \overline{1-s} \right) \omega t \right. \right. \\ &\quad \left. \left. + \cos \left(2 + \frac{g}{p} n_2 \overline{1-s} \right) \omega t \right\} \right] \dots \dots (1) \end{aligned}$$

と表現できる。これが従来のフーリエ級数法による理論で得られる分布力の周波数である。

(3) オ3図(a)は一次が半開スロット、ニ次が全閉スロットである

が、図(a)の一次もニ次も全開スロットの場合と比較して、起碰力分布によるひずみ波に重なった形で一次のギャップ(スロットパーティアンス)の変動によるひずみ波(空間高調波)の影響が現われている。さらに図(b)(一次もニ次も半開スロット)では、起碰力分布ヒークの変動によるひずみ波にニ次のギャップの変動によるひずみ波が重なった形となっている。すなわち、起碰力分布とスロットパーティアンス(ギャップの変動)の空間的変動に起因する空間高調波は定性的には全く同じである。

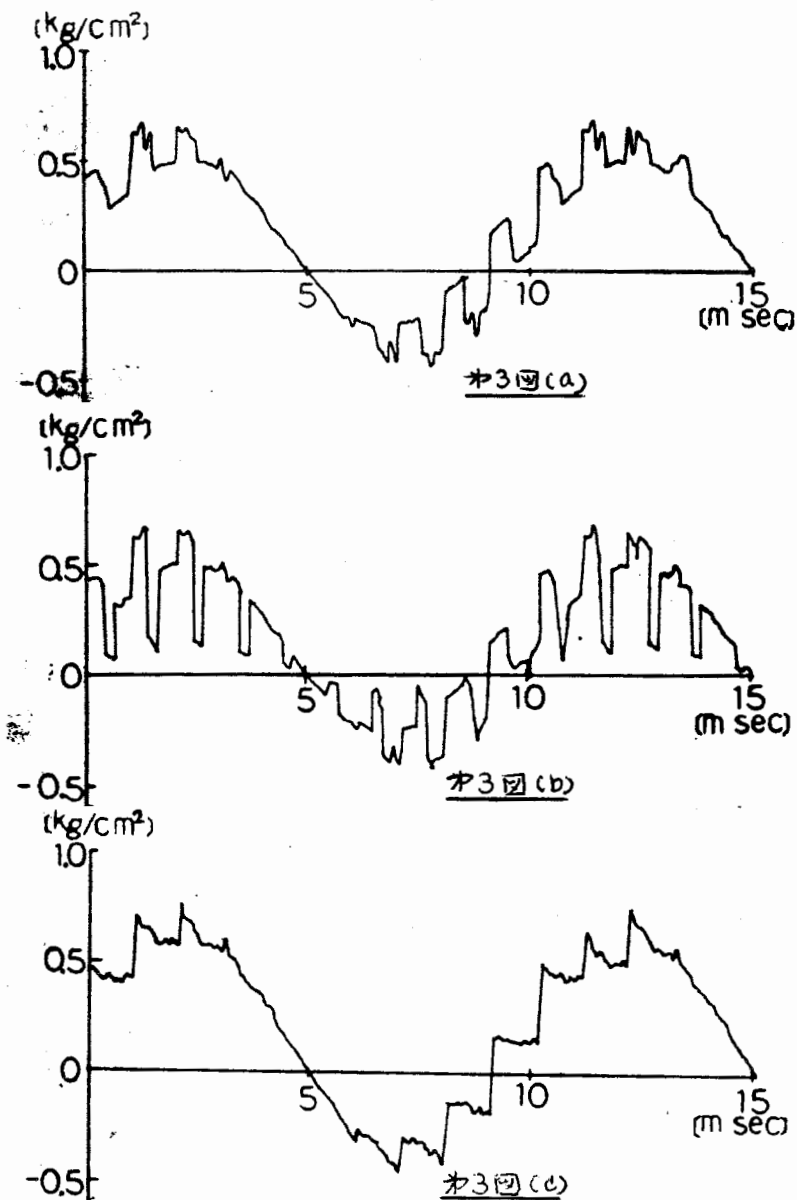
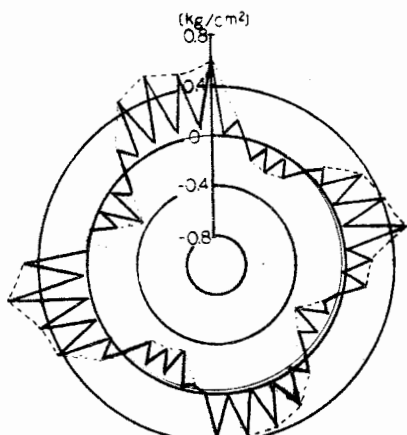


図3 分布力の波形

<3.4> 分布力の空間分布に関する考察 オ2表の各定数でニ次スロット数を 29, 33, 26, 30, 28, 44とした場合の分布力の空間分布をオ4図(a)～(f)に示す。但し、計算開始する 0.1 [m sec]におけるものである。従来の一次とニ次の溝数組み合せによる理論、すなわち、オ1表に示されている計算式による分布力の次数とオ4図からわかる分布力の次数を各種のニ次スロット数についてオ4表に示す。

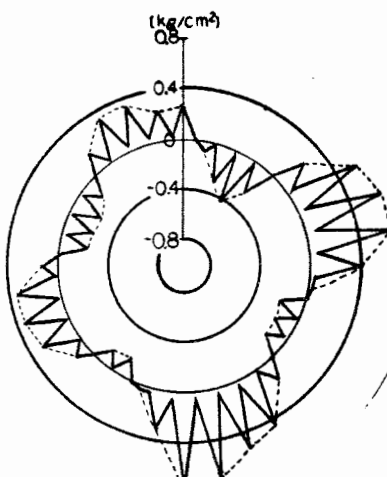
オ4表 分布力の次数

n_2	オ1表	オ4図	n_2	オ1表	オ4図	n_2	オ1表	オ4図
29	7, 3, 11	1	26	10, 6, 14	2	28	8, 4, 12	4
33	3, 1, 7	1	30	6, 2, 10	2	44	8, 12, 4	4

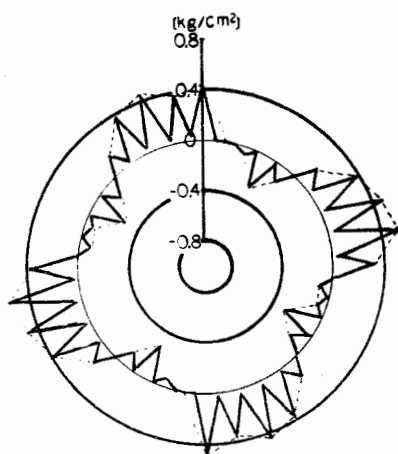


(a)

$$2p=4, 36/29$$

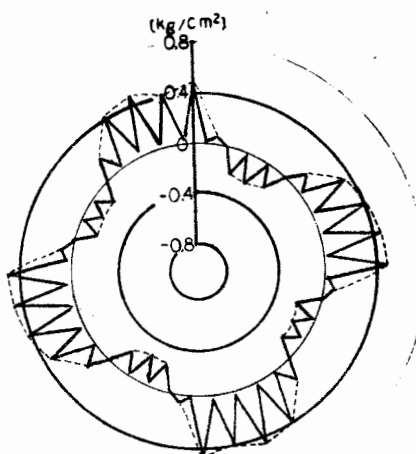


$$2p=4, 36/33$$



(c)

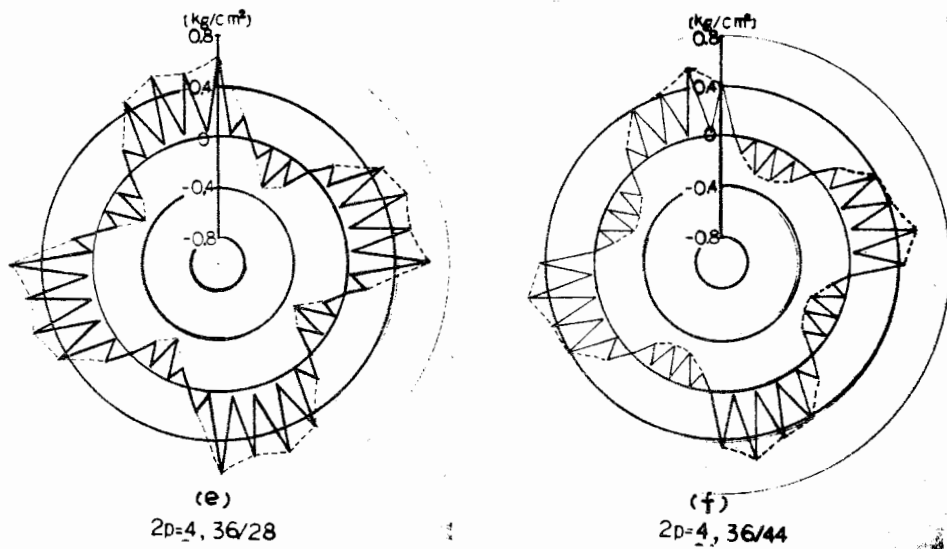
$$2p=4, 36/26$$



(d)

$$2p=4, 36/30$$

オ4図(a)～(d) 分布力の空間分布



オ4図 (e), (f) 分布力の空間分布

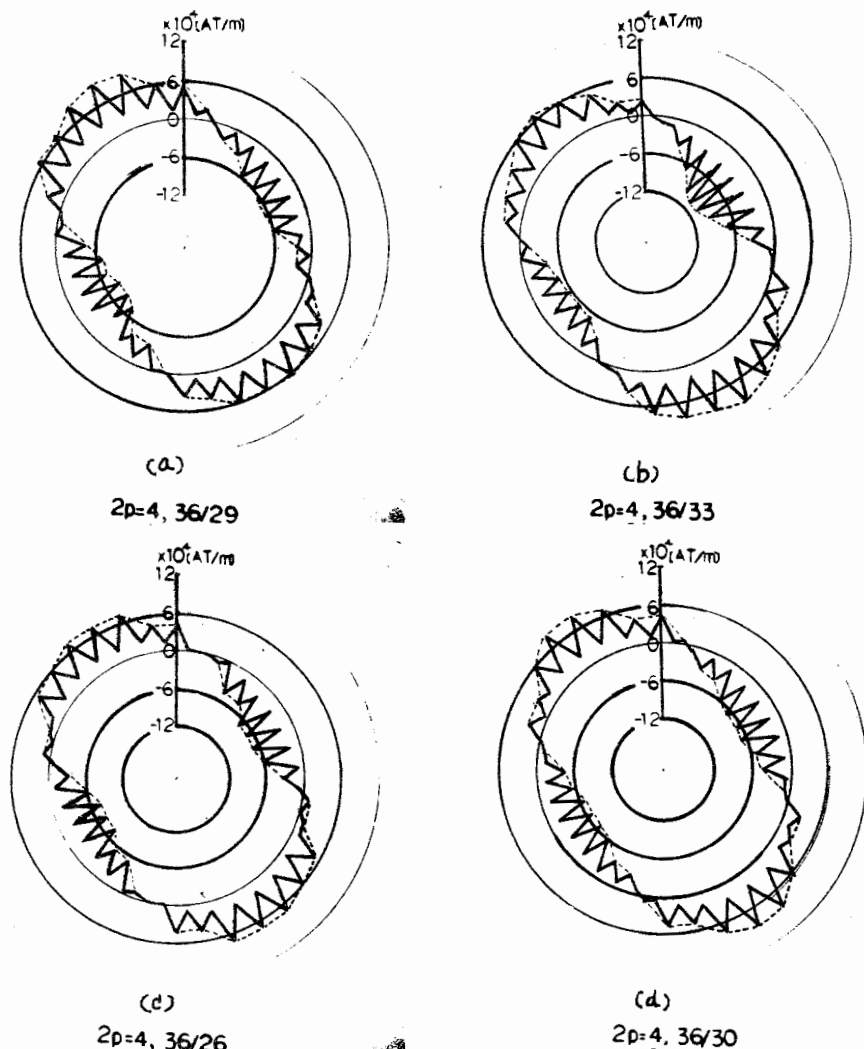
オ4表から、分布力の次数で従来の一次と二次の溝高調波だけによる理論と一致するものは、二次の溝数が33, 30, 28さらに44の場合であり、一致しないものは、二次の溝数が29と26の場合である。これは分布力の次数が、二次の溝数29と26のとき、一次と二次の溝高調波以外のものも含まれているためであり、従来のフーリエ級数法による理論によれば、分布力に寄与する二次の高調波はオ5次、オ7次の一次側高調波によって誘起されるものが存在するためである。たとえば、二次溝数が29のとき、一次の溝高調波が19次と一次のオ5次高調波によって誘起される二次の高調波の間で生ずる分布力の次数はオ1次であり、二次の溝数が26のとき、一次の溝高調波が19次と一次のオ7次高調波によつて誘起される二次の高調波の間で生ずる分布力の次数はオ2次である。⁽²⁾ ⁽¹⁰⁾

オ5図(a)～(d)に計算開始から0.1 [msec]におけるニ次の壁界の分布をニ次溝数が、29, 33, 26さらに30の場合について示す。オ5図から、分布力の次数は一次と二次の溝高調波の干渉によつて生ずるものと考えるよりもニ次の壁界分布がニ次の溝数によつて異なるためであると考える方が妥当である。すなわち、分布力の次数はニ次の壁界分布によつて一方的に決定されるものであり、シミュレーションの結果と従来の理論の結果より、ニ次の溝数は極めて割り切れるものが騒音対策として有効である。⁽²⁾

4. 結論

本論文では次のことをシミュレーションによって明らかにした。

(1) 分布力の波形は $2f [H_2]$ に変調された $gn_2(1-s)f/p [H_2]$

図5 図 二次の磁界分布

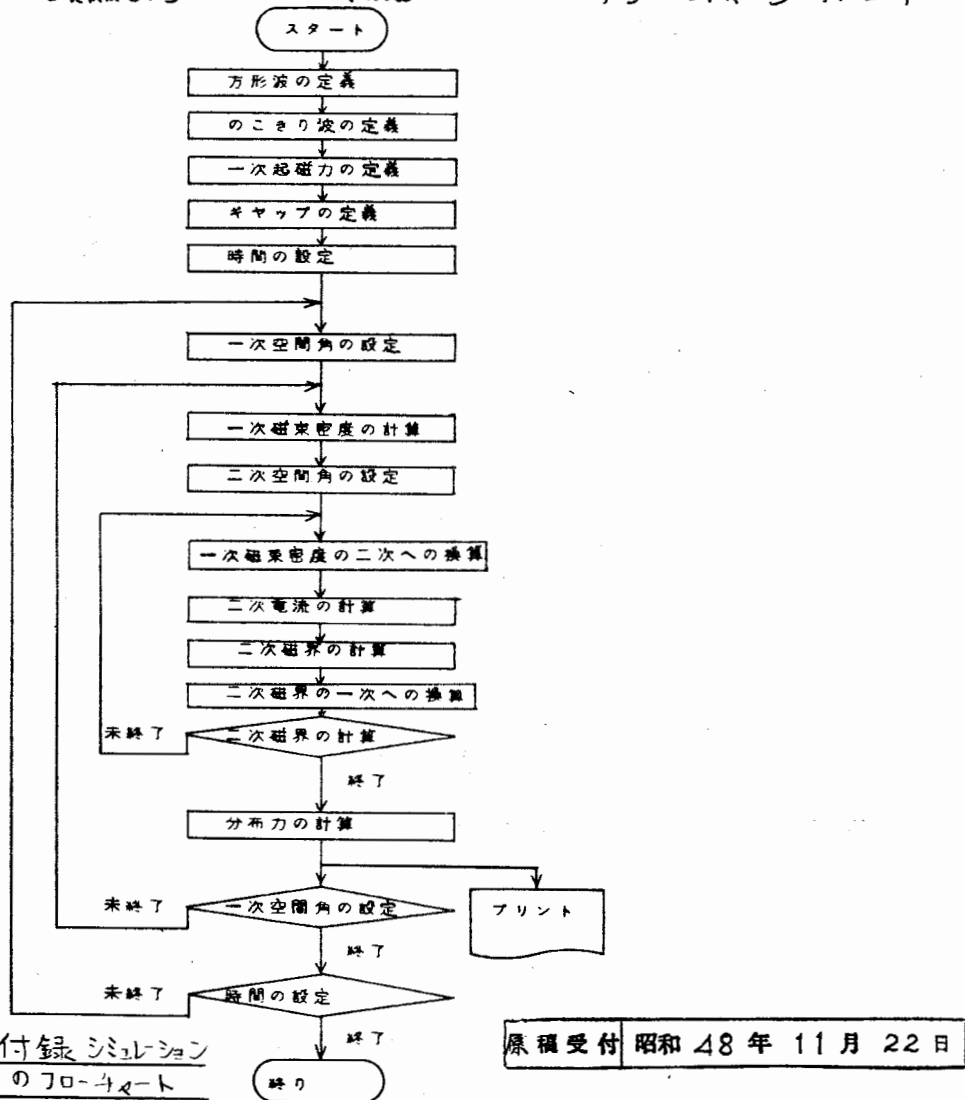
なる周波数からなり、その結果として三種類の $2f$ [Hz] すつ異なる周波数の騒音を発生する。

(2) 分布力の次数は二次の磁界によって一意的に決定される
 本研究について検討して頂いた本学講師藤田伊ハ郎博士および本学教授山村龍男博士に厚くお礼を申しあげます。

文献

- (1) 大川: 芝浦レヴュー オ13巻 237ページ 1934年
- (2) 藤田: 東芝レヴュー オ9巻 857ページ 1954年
- (3) Alger: The Nature of Induction Machines 325ページ 1965年

- (4) 石崎：電気工学論文集 第4巻3号 127ページ 1952年
 (5) 石崎：電学誌 第74巻789号 705ページ 1954年
 (6) 斎藤：回転機研究会資料 RM-73-2
 (7) 斎藤：回転機研究会資料 RM-73-3
 (8) Jordan: Geräuscharme Electromotoren 12ページ 1950年
 (9) Erdelyi: AIEE Trans 12月号 1269ページ 1955年
 (10) 石崎：電学誌 第75巻800号 451ページ 1955年
 (11) Muster,他: AIEE Trans 2月号 1365ページ 1956年
 (12) Magyar : AIEE Trans 4月号 81ページ 1959年
 (13) 斎藤，他：National Technical Report 第17巻4号 341ページ 1971年
 (14) Summers : AIEE Trans 4月号 69ページ 1955年



付録 シミュレーション
のフローチャート

原稿受付 昭和 48 年 11 月 22 日